

ЭФФЕКТЫ НЕЛИНЕЙНОЙ ЭЛЕКТРОДИНАМИКИ С ДИЛАТОНОМ И АКСИОНОМ

по материалам кандидатской диссертации

Мошарев Павел Александрович

Научный руководитель:
Д. ф.-м. н., профессор
Кечкин Олег Вячеславович

АКТУАЛЬНОСТЬ ТЕМЫ ИССЛЕДОВАНИЯ

- › Главной целью теоретической физики на протяжении последнего столетия является построение единой теории поля, которая описывала бы все четыре фундаментальных взаимодействия и все поля материи. Многие из существующих кандидатов на роль Теории Великого Объединения предсказывают существование новых полей и частиц, не наблюдавшихся в эксперименте.
- › Одной из самых важных проблем физики нашего времени является поиск объяснения природы скрытой массы во Вселенной (тёмной материи). Поиски тёмной материи ведутся как в экспериментах (регистрация так называемых WIMP, слабовзаимодействующих массивных частиц), так и в теории (предсказание возможных кандидатов на роль WIMP, исходя из общих принципов физики элементарных частиц и взаимодействий).
- › Открытие в 2012 году бозона Хиггса подтвердило факт существования в нашем мире фундаментальных скалярных полей. Вопрос о существовании других подобных полей и о их взаимодействиях с известными полями остался открытым.
- › Многие Теории Великого Объединения предсказывают модификацию классической электродинамики Максвелла, включающую дополнительные скалярное и псевдоскалярное поля – дилатон и аксион. Дилатон-аксионное обобщение классической электродинамики является в некотором смысле «минимальным». Аксион также естественным образом возникает в одном из самых популярных решений «сильной CP-проблемы» квантовой хромодинамики. Обе частицы, дилатон и аксион, рассматриваются в качестве кандидатов на роль тёмной материи. Все перечисленные факты делают актуальным исследование взаимодействия дилатонного и аксионного полей с электромагнитным полем в рамках классической и квантовой теории поля.

ЦЕЛЬ РАБОТЫ

1. Исследование электродинамики Максвелла с дилатоном и аксионом в стационарном случае.
2. Разработка аналитических методов поиска точных решений.
3. Формулирование возможных принципов экспериментальной проверки теории.

ЗАДАЧИ ИССЛЕДОВАНИЯ

1. Анализ существующих нелинейных моделей теории поля
2. Исследование стационарной электродинамики с дилатоном известными средствами
3. Разработка новых методов поиска точных решений в электродинамике с дилатоном
4. Исследование стационарной электродинамики с аксионом, построение точных решений
5. Формулирование принципов экспериментальной проверки теории на основании полученных точных решений

- Уравнения Максвелла:

$$\begin{aligned}\nabla \times \vec{H} &= \frac{1}{c} \frac{\partial \vec{E}}{\partial t} \\ \nabla \times \vec{E} &= -\frac{1}{c} \frac{\partial \vec{H}}{\partial t} \\ \nabla \cdot \vec{H} &= 0 \\ \nabla \cdot \vec{E} &= 0\end{aligned}$$

- 4-потенциал поля

$$\begin{aligned}A^\mu &= \{A^0, \vec{A}\} \\ \vec{H} &= \nabla \times \vec{A} \\ \vec{E} &= -\nabla \cdot A^0 - \frac{1}{c} \frac{\partial \vec{A}}{\partial t}\end{aligned}$$

- Тензор электромагнитного поля:

$$F_{\mu\nu} = A_{\nu,\mu} - A_{\mu,\nu}$$

- Лагранжиан классической электродинамики:

$$L = -\frac{1}{4} F_{\mu\nu} F^{\mu\nu}$$

- Центрально-симметричное решение уравнений с нулевой асимптотикой на бесконечности в случае электростатики – кулоновское поле:

$$\Delta A^0 = 0; \quad A^0 = \frac{Q}{r}$$

- Взаимодействие пробных заряженных частиц с электромагнитным полем осуществляется посредством силы Лоренца:

$$\frac{d p^\mu}{ds} = e F^{\mu\nu} u_\nu$$

› Теория Борна-Инфельда:

$$L_{BI} = -b^2 \left(\sqrt{1 + \frac{1}{2b^2} I_1 - \frac{1}{4b^4} I_2^2} - 1 \right)$$

где $I_1 = F_{\mu\nu} F^{\mu\nu}$, $I_2 = \tilde{F}_{\mu\nu} F^{\mu\nu}$, $\tilde{F}_{\mu\nu} = \frac{1}{2} \epsilon^{\alpha\beta\mu\nu} F_{\alpha\beta}$

- Главный результат – конечная величина поля во всём пространстве.

› Теория Гейзенберга-Эйлера

$$L_{HE} = -\frac{1}{4} I_1 + \frac{e^2}{\hbar c} \int_0^\infty e^{-\eta} \frac{d\eta}{\eta^3} \left[i\eta^2 \frac{I_2}{2} \frac{\cos\left(\frac{\eta}{E_0} \sqrt{-\frac{1}{2} I_1 + i I_2}\right) + c.c.}{\cos\left(\frac{\eta}{E_0} \sqrt{-\frac{1}{2} I_1 + i I_2}\right) - c.c.} + E_0^2 + \frac{\eta^2}{6} I_1 \right]$$

Рассматриваются и другие виды нелинейной электродинамики типа Борна-Инфельда:

› Логарифмическая:

$$L_{LOG} = -b^2 \ln \left(1 + \frac{1}{b^2} I_1 - \frac{1}{2b^4} I_2^2 \right)$$

› Экспоненциальная:

$$L_{EXP} = -I_1 e^{-bI_1}$$

В общем случае разложение до второго порядка по инвариантам даёт лагранжиан нелинейной электродинамики:

$$L_{NE} = -\frac{1}{4} I_1 + a I_1^2 + b I_2^2$$

- › Электродинамика Максвелла:

$$L = -\frac{1}{4} F_{\mu\nu} F^{\mu\nu} = -\frac{1}{4} I_1$$

- › С алгебраической точки зрения для достижения общности описания разумно включить в лагранжиан второй независимый инвариант электромагнитного поля $I_2 = \tilde{F}_{\mu\nu} F^{\mu\nu}$. Так как он является псевдоскалярной величиной, есть всего два способа это сделать: возвести его в чётную степень или домножить на новое псевдоскалярное поле. Это новое поле \varkappa называется аксионом.
- › Для достижения полной общности первый инвариант можно тоже домножить на дополнительное скалярное поле. Выражение для него подберем таким образом, чтобы в случае, когда дополнительные поля исчезают, мы получали лагранжиан классической электродинамики. Введенное таким образом поле ϕ называется дилатоном. В результате, добавив кинетические члены дилатона и аксиона, получим лагранжиан следующего вида:

$$L = -\frac{1}{4} e^{\alpha\phi} F_{\mu\nu} F^{\mu\nu} - \frac{1}{4} \gamma \varkappa \tilde{F}_{\mu\nu} F^{\mu\nu} + 2\partial_\mu \phi \partial^\mu \phi + \frac{1}{2} \partial_\mu \varkappa \partial^\mu \varkappa$$

- › Величины α и γ – произвольные константы связи.

- ОТО – теория, описывающая гравитационное взаимодействие. Интервал между событиями в четырехмерном пространстве-времени:

$$ds^2 = g_{\mu\nu} dx^\mu dx^\nu$$

$g_{\mu\nu}$ - метрический тензор, имеющий 10 независимых компонент, динамика которых (в вакууме) описывается уравнениями Эйнштейна

$$R_{\mu\nu} = 0,$$

где $R_{\mu\nu}$ - тензор кривизны, составленный из компонент метрического тензора и их производных до второго порядка включительно.

- ОТО – нелинейная теория. На сегодняшний момент не найдено общего решения уравнений Эйнштейна.

- В некоторых случаях бывает удобно записать интервал в следующем виде:

$$ds_4^2 = f(dt + \omega_k dx^k)^2 - f^{-1} ds_3^2$$

- В стационарном случае динамика функций f и ω_k описывается независимо от остальных компонент метрического тензора. Соответствующий лагранжиан даётся выражением

$$L_{GR} = \frac{1}{2} f^{-2} [(\nabla f)^2 + (\nabla \chi)^2],$$

где $\nabla \chi = -f^2 \nabla \times \vec{\omega}$

- Введя новый комплексный потенциал $\mathcal{E} = f + i\chi$, можно показать, что преобразование

$$\mathcal{E} \rightarrow \frac{\mathcal{E} + i\Lambda}{1 + i\Lambda\mathcal{E}}$$

(нормированное преобразование Элерса) является точной симметрией лагранжиана L_{GR} .

- Теория Калуцы-Клейна – способ единообразного описания гравитации и электродинамики за счёт расширения ОТО на 5 измерений. При параметризации пятимерного метрического тензора в виде

$$(g_{MN}) = e^{-\frac{1}{3}\alpha\phi} \begin{pmatrix} g_{\mu\nu} + \frac{\alpha^2}{12} e^{\alpha\phi} A_\mu A_\nu & \frac{\alpha}{2\sqrt{3}} e^{\alpha\phi} A_\mu \\ \frac{\alpha}{2\sqrt{3}} e^{\alpha\phi} A_\nu & e^{\alpha\phi} \end{pmatrix}$$

пятимерные уравнения Эйнштейна $R_{MN} = 0$ совпадают с уравнениями, получаемыми при варьировании действия

$$S = - \int d^4x \sqrt{-g} \left(\frac{R}{16\pi G} + \frac{1}{4} e^{\alpha\phi} F_{\mu\nu} F^{\mu\nu} + 2\partial_\mu\phi\partial^\mu\phi \right)$$

- Если пространство плоское, это действие описывает электродинамику с дилатоном, если отсутствуют электромагнитные поля – скалярно-тензорную гравитацию Бранса-Дикке.

- › Аксионы были добавлены в лагранжиан Стандартной модели в рамках решения «Сильной CP-проблемы», предложенного Печчеи и Квинн в 1977 году. Необходимость их введения возникла в теории сильного взаимодействия, также массивные аксионы являются одним из главных кандидатов на роль частиц тёмной материи. Для нас в рамках настоящей работы наиболее интересно взаимодействие аксионов с электромагнитным полем, описываемое лагранжианом следующего вида:

$$L = -\frac{1}{4}F_{\mu\nu}F^{\mu\nu} - \frac{1}{4}\gamma\alpha\tilde{F}_{\mu\nu}F^{\mu\nu} + \frac{1}{2}\partial_\mu\alpha\partial^\mu\alpha + V(\alpha)$$

- › Поиски аксионов предпринимались в экспериментах CAST и ADMX, существует также проект эксперимента CASPEr.

СЛЕДУЕТ ОТМЕТИТЬ, ЧТО АКСИОННОЕ И ДИЛАТОННОЕ ОБОБЩЕНИЯ КЛАССИЧЕСКОЙ ЭЛЕКТРОДИНАМИКИ ВОЗНИКАЮТ ТАКЖЕ ПРИ КОМПАКТИФИКАЦИИ ДОПОЛНИТЕЛЬНЫХ ИЗМЕРЕНИЙ В МНОГОМЕРНОЙ ТЕОРИИ СТРУН.

- › В данном разделе изучается модель классической электродинамики с одним дополнительным дилатонным полем

$$L = -\frac{1}{4} e^{\alpha\phi} F_{\mu\nu} F^{\mu\nu} + 2\partial_\mu\phi\partial^\mu\phi$$

- › При условии, что все поля не зависят от времени, можно ввести скалярный потенциал магнитного поля u согласно уравнению

$$\nabla u = -e^{-2\alpha\phi} \nabla \times \vec{A}.$$

- › В этом случае уравнения, описывающие динамику полей, примут следующий вид:

$$\begin{aligned} \nabla(e^{2\alpha\phi} \nabla u) &= 0, \\ \nabla(e^{-2\alpha\phi} \nabla v) &= 0, \\ \nabla^2\phi + \frac{\alpha}{4} [e^{-2\alpha\phi} (\nabla v)^2 - e^{2\alpha\phi} (\nabla u)^2] &= 0. \end{aligned}$$

- › Этими уравнениями описываются стационарные поля ДМЭ. Соответствующий им трехмерный лагранжиан выглядит так:

$$L_3 = 2 (\nabla\phi)^2 + \frac{1}{2} [e^{-2\alpha\phi} (\nabla v)^2 + e^{2\alpha\phi} (\nabla u)^2]$$

- Предположим, что все поля исследуемой модели зависят от одной гармонической функции, то есть,

$$\phi = \phi(\lambda), \quad v = v(\lambda), \quad u = u(\lambda), \\ \Delta\lambda = 0.$$

- В этом случае мы получаем эффективно одномерную теорию, уравнения и лагранжиан которой записываются так:

$$(e^{2\alpha\phi} u')' = 0, \\ (e^{-2\alpha\phi} v')' = 0,$$

$$\phi'' + \frac{\alpha}{4} [e^{-2\alpha\phi} (v')^2 - e^{2\alpha\phi} (u')^2] = 0.$$

$$L_3 = 2 (\phi')^2 + \frac{1}{2} [e^{-2\alpha\phi} (v')^2 + e^{2\alpha\phi} (u')^2]$$

(Можно провести аналогию с классической механикой, где λ играет роль «времени»)

- Уже при первом взгляде на уравнения видно, что существуют три интеграла движения

$$e^{-2\alpha\phi} v' = C_1, \\ e^{2\alpha\phi} u' = C_2, \\ (\phi')^2 - \frac{C_1^2}{4} e^{2\alpha\phi} - \frac{C_2^2}{4} e^{-2\alpha\phi} = C_3.$$

- Второй из этих интегралов с учётом определения потенциала u позволяет сразу получить вид магнитного поля:

$$\vec{H} = \nabla \times \vec{A} = -C_2 \nabla \lambda.$$

- Это позволяет нам в дальнейшем не интересоваться явным видом потенциала u .

ЗАДАЧА 2

ИССЛЕДОВАНИЕ СТАЦИОНАРНОЙ
ЭЛЕКТРОДИНАМИКИ С ДИЛАТОНОМ
ИЗВЕСТНЫМИ СРЕДСТВАМИ

ОБЩЕЕ ГАРМОНИЧЕСКОЕ РЕШЕНИЕ.
ПРОБЛЕМА ИНТЕГРИРОВАНИЯ
УРАВНЕНИЙ

- Решение уравнения для поля ϕ

$$(\phi')^2 - \frac{C_1^2}{4} e^{2\alpha\phi} - \frac{C_2^2}{4} e^{-2\alpha\phi} = C_3$$

даётся интегралом следующего вида:

$$\lambda = \int \frac{d\phi}{\sqrt{\frac{C_1^2}{4} e^{2\alpha\phi} + \frac{C_2^2}{4} e^{-2\alpha\phi} + C_3}}$$

- Замена переменной $e^{\alpha\phi} = x$ приводит его к более простому виду:

$$\lambda = \frac{2}{\alpha} \int \frac{dx}{\sqrt{C_1^2 x^4 + 4C_3 x^2 + C_2^2}}$$

- Дальнейшее вычисление зависит от того, какие корни имеет многочлен в знаменателе.

- Для примера, в случае $4C_3^2 - C_1^2 C_2^2 > 0$, $C_3 < 0$ имеем решение

$$e^{\alpha\phi} = A \cdot \operatorname{sn} \left(\pm \frac{\alpha|C_2|}{2A} \lambda + \Lambda_0, k \right),$$

$$v = BC_1 \lambda + \frac{|C_2|}{A} \sqrt{B} \int_{\Lambda_0}^{\pm \frac{\alpha|C_2|}{2A} \lambda + \Lambda_0} \operatorname{dn}^2 \left(\pm \frac{\alpha|C_2|}{2A} \lambda + \Lambda_0, k \right) d\lambda,$$

где $\operatorname{sn}(x, k)$ и $\operatorname{dn}(x, k)$ – эллиптические функции Якоби. Константы A, B и k задаются формулами

$$A = \sqrt{\frac{2C_3 + \sqrt{4C_3^2 - C_1^2 C_2^2}}{-C_1^2}}, \quad B = \frac{-2C_3 + \sqrt{4C_3^2 - C_1^2 C_2^2}}{C_1^2}, \quad k^2 = \frac{2C_3 + \sqrt{4C_3^2 - C_1^2 C_2^2}}{2C_3 - \sqrt{4C_3^2 - C_1^2 C_2^2}};$$

Λ_0 – константа интегрирования

- В случае центральной симметрии $\lambda = \frac{q}{r}$, и разложение решения по степеням $\frac{1}{r}$ позволяет найти эффективные заряды:

$$q_\phi = \pm \frac{\sqrt{4C_3 + C_1^2 + C_2^2}}{2} q, \quad q_e = C_1 q, \quad q_m = C_2 q.$$

- Выражения для потенциалов при других значениях параметров приведены в Приложении.

- › В частном случае $C_3 = \frac{C_1 C_2}{2}$, $\frac{C_1}{C_2} = k^2$ получаем решение следующего вида:

$$e^{\alpha\phi} = \frac{1}{k} \operatorname{tg} \left(\frac{\alpha C_2 k}{2} \lambda + \operatorname{arctg} k \right),$$

$$v = -C_2 \lambda + \frac{2}{\alpha} \left[\frac{1}{k} \operatorname{tg} \left(\frac{\alpha C_2 k}{2} \lambda + \operatorname{arctg} k \right) - 1 \right].$$

- › При $\frac{C_1}{C_2} = -k^2$ получаем решение такого вида:

$$e^{\alpha\phi} = \frac{1(1+k)e^{\alpha C_2 k \lambda} - 1 + k}{k(1+k)e^{\alpha C_2 k \lambda} + 1 - k},$$

$$v = -C_2 \lambda + \frac{2(1-k)}{\alpha k} \left[1 - \frac{2}{(1+k)e^{\alpha C_2 k \lambda} + 1 - k} \right].$$

- › В случае центральной симметрии $\lambda = \frac{q}{r}$, и эффективные заряды каждого типа даются выражениями

$$q_e = C_1 q, \quad q_m = C_2 q, \quad q_\phi = \frac{C_1 + C_2}{2} q = \frac{q_e + q_m}{2}.$$

- › Отдельно в нашей работе рассмотрены частные электро- и магнитостатические решения. Подробности приведены в Приложении (также электростатическое решение будет обсуждаться ниже), здесь укажем лишь крайний предельный случай: электростатическое решение при условии $q_\phi = \frac{q_e}{2}$ в случае центральной симметрии имеет вид:

$$e^{-\alpha\phi} = 1 - \frac{\alpha q_e}{2r}, \quad v = \frac{2 q_e}{2r - \alpha q_e}.$$

- › Видно, что электростатическое поле может иметь конечную величину во всём пространстве.

- › Рассмотрим модель электродинамики с дилатоном и отрицательным знаком перед кинетическим членом дилатона (она возникает, например, в случае, если дополнительное измерение в теории Калуцы-Клейна является времениподобным):

$$L = -\frac{1}{4} e^{\alpha\phi} F_{\mu\nu} F^{\mu\nu} - 2\partial_\mu\phi\partial^\mu\phi$$

- › В стационарном случае, при рассмотрении только электростатики или только магнитостатики, лагранжиан модели может быть записан в виде

$$L = L_{GR} = \frac{1}{2} f^{-2} [(\nabla f)^2 + (\nabla\chi)^2],$$

где введены обозначения

$$f = e^{\pm\alpha\phi}, \quad \chi = \frac{\alpha}{2} \{v/u\}.$$

- › Знак «+» отвечает электростатике, «-» – магнитостатике. Потенциал χ , фактически, является скалярным потенциалом электрического или магнитного поля.
- › Установленная таким образом дуальность между двумя теориями позволяет нам использовать результаты ОТО для получения точных решений в электродинамике с дилатоном. Например, применяя нормированное преобразование симметрии Элерса к простейшему – гармоническому – «затравочному» потенциалу $\Delta\phi_0 = 0$, получим более общее решение следующего вида:

$$\chi = \operatorname{tg}\left(\frac{\lambda}{2}\right) \frac{1 - e^{2\alpha\phi_0}}{1 + \operatorname{tg}^2\left(\frac{\lambda}{2}\right) e^{2\alpha\phi_0}}, \quad e^{-\alpha\phi} = \frac{\left[1 + \operatorname{tg}^2\left(\frac{\lambda}{2}\right)\right] e^{\alpha\phi_0}}{1 + \operatorname{tg}^2\left(\frac{\lambda}{2}\right) e^{2\alpha\phi_0}}.$$

- › Это решение совпадает с одним из решений, полученных ранее.

- Подставив в решение, полученное на предыдущем слайде, затравочное решение в виде кулоновского потенциала $\phi_0 = \frac{Q}{r}$, получим центрально-симметричное решение следующего вида:

$$v = \frac{2}{\alpha} \operatorname{tg} \left(\frac{\lambda}{2} \right) \frac{1 - e^{\frac{2\alpha Q}{r}}}{1 + \operatorname{tg}^2 \left(\frac{\lambda}{2} \right) e^{\frac{2\alpha Q}{r}}},$$

$$e^{-\alpha\phi} = \frac{\left[1 + \operatorname{tg}^2 \left(\frac{\lambda}{2} \right) \right] e^{\frac{\alpha Q}{r}}}{1 + \operatorname{tg}^2 \left(\frac{\lambda}{2} \right) e^{\frac{2\alpha Q}{r}}}.$$

- На пространственной бесконечности эти поля принимают кулоновский вид $v = \frac{q_e}{r}$, $\phi = \frac{q_\phi}{r}$, где заряды находятся по формулам $q_e = -2Q \sin(\lambda)$, $q_\phi = Q \cos(\lambda)$.

- Электростатический потенциал v имеет конечную величину во всём пространстве.
- Можно доказать, что данное решение – единственное в центрально-симметричном случае. Для этого запишем уравнения движения в матричном виде: $\nabla(M^{-1}\nabla M) = 0$, где матрица M имеет вид:

$$M = \begin{pmatrix} f^{-1} & f^{-1}\chi \\ f^{-1}\chi & f + f^{-1}\chi^2 \end{pmatrix}$$

- Матрица M удовлетворяет двум условиям: $\det M = 1$, $M^T = M$. Записывая уравнение в сферических координатах, учитывая условие центральной симметрии и данные дополнительные условия, можем получить его общее решение в виде функций, представленных на данном слайде.

- › Лагранжиан ДМЭ симметричен относительно преобразования полей $\phi \rightarrow \phi + \varepsilon$, $A_\mu \rightarrow A_\mu e^{\alpha\varepsilon}$.
- › Требование симметрии относительно этого преобразования приводит нас к следующему выражению для силы Лоренца:

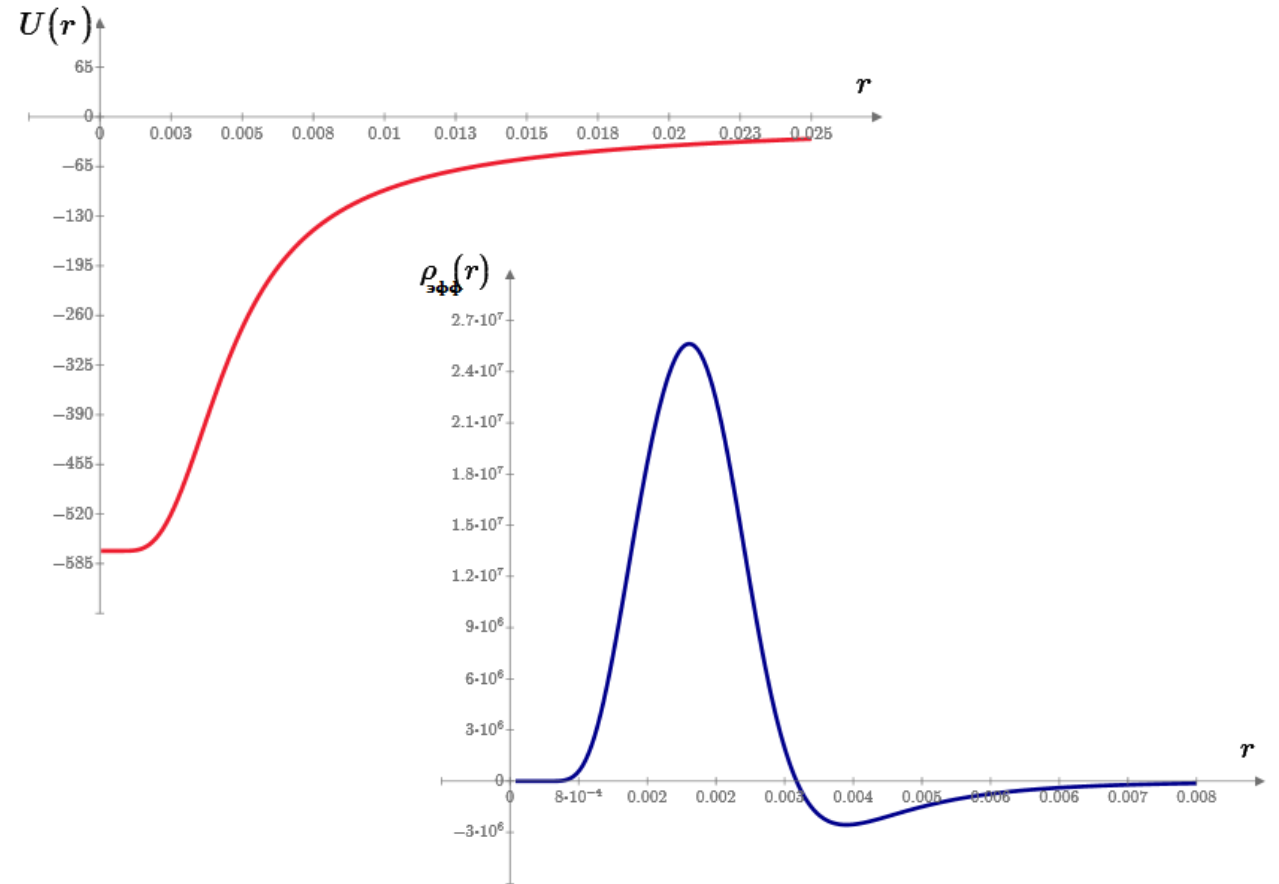
$$\frac{dp^\mu}{ds} = qe^{-\alpha\phi} F^{\mu\nu} u_\nu.$$

- › Подставляя в это выражение общее центрально-симметричное решение для полей ДМЭ, можно показать, что сила Лоренца имеет потенциальный вид:

$$\frac{d\vec{p}}{dt} = -\nabla U$$

с потенциалом

$$U = -\frac{4q}{\alpha} \left\{ \arctg \left[e^{\frac{\alpha Q}{r}} \operatorname{tg} \left(\frac{\lambda}{2} \right) \right] - \frac{\lambda}{2} \right\}.$$



Соответствующая эффективная плотность заряда

- Энергия полей вычисляется как интеграл от нулевой компоненты тензора энергии-импульса

$$E = \int d^3x \left[-2(\nabla\phi)^2 + \frac{1}{2} e^{-2\alpha\phi} (\nabla v)^2 \right]$$

- В выражении для энергии можно выделить инвариантную расходящуюся часть

$$E_0 = -2 \int d^3x \frac{Q^2}{r^4},$$

которая совпадает с выражением для энергии точечного электрона, и нетривиальную конечную добавку к ней

$$\Delta E = \frac{8\pi q_e^2}{\alpha \left(\sqrt{q_e^2 + 4q_\phi^2} - 2q_\phi \right)}.$$

- Если эксперимент состоит в наблюдении за движением пробных частиц, то будет наблюдаться только поле v , имеющее полную энергию

$$E_e = \frac{8\pi}{3\alpha} \frac{\sqrt{q_e^2 + 4q_\phi^2} + 2q_\phi}{\sqrt{q_e^2 + 4q_\phi^2} - 2q_\phi} \left(\sqrt{q_e^2 + 4q_\phi^2} - q_\phi \right).$$

- Отношение этих энергий выражается через параметр преобразования Элерса следующим образом:

$$\frac{E_e}{\Delta E} = \frac{1}{6} \cdot \frac{2 - \cos \lambda}{1 - \cos \lambda}.$$

- Если же движение пробных частиц подчиняется обобщенной силе Лоренца, то наблюдаемая энергия полей будет следующей:

$$\tilde{E}_e = \frac{4\pi}{\alpha} \frac{\left(\sqrt{q_e^2 + 4q_\phi^2} + 2q_\phi \right)^2}{\sqrt{q_e^2 + 4q_\phi^2} - 2q_\phi}.$$

- › В аксиально-симметричном случае общее выражение для метрики четырехмерного пространства-времени может быть параметризовано в следующем виде (Эрнст, 1968):

$$ds_4^2 = f(dt + \omega_\varphi d\varphi)^2 - f^{-1}[e^{2\gamma}(dz^2 + d\rho^2) + \rho^2 d\varphi^2].$$

- › Сравним это выражение с известным решением Керра-НУТ из Общей Теории Относительности:

$$-ds^2 = \frac{\omega}{\Delta} dr^2 + \omega d\theta^2 - \frac{1}{\omega} \{(\Delta - a^2 \sin^2 \theta) d\tau^2 - [4\Delta b \cos \theta - 4a \sin^2 \theta (mr + b^2)] d\tau d\varphi + [\Delta(a \sin^2 \theta + 2b \cos \theta)^2 - \sin^2 \theta (r^2 + b^2 + a^2)^2] d\varphi^2\},$$

где $\tau = -t + 2a\varphi$, $\omega = r^2 + (b - a \cos \theta)^2$, $\Delta = r^2 - 2mr + a^2 - b^2$. Константа a – параметр Керра, константа b – параметр НУТ.

- › Путём некоторых преобразований, записав все формулы в вытянутых сфероидальных координатах (σ, τ, φ) , получим следующие выражения для полей ДМЭ:

$$e^{\pm\alpha\varphi} = -\frac{(m^2 - a^2 + b^2)(1 - \sigma^2) + a^2(1 - \tau^2)}{(\sigma\sqrt{m^2 - a^2 + b^2} + m)^2 + (b - a\tau)^2},$$

$$\{v/u\} = \frac{4}{\alpha} \frac{\sigma b \sqrt{m^2 - a^2 + b^2} + ma\tau}{(\sigma\sqrt{m^2 - a^2 + b^2} + m)^2 + (b - a\tau)^2}.$$

- › Если выразить найденное решение в сферических координатах, а потом разложить по степеням $1/R$, можно найти эффективные заряды и дипольные моменты полей:

$$\phi = \pm \frac{2m}{\alpha} \frac{1}{R} \pm \frac{2b(a \cos \Theta - b)}{\alpha} \frac{1}{R^2} + \dots; \quad \{v/u\} = \frac{4b}{\alpha} \frac{1}{R} + \frac{4m(a \cos \Theta - 2b)}{\alpha} \frac{1}{R^2} + \dots$$

- › Система, создающая данные поля, обладает зарядами: дилатонным $q_\phi = \pm \frac{2m}{\alpha}$, электрическим/магнитным $q_{e/m} = \frac{4b}{\alpha}$. Дипольные моменты равны, соответственно, $d_\phi = \pm \frac{2ba}{\alpha}$, $d_{e/m} = \frac{4ma}{\alpha}$.

- › В случае $a = b = 0$ решение Керра-НУТ переходит в решение Шварцшильда. В таком решении отсутствуют электрическое и магнитное поля.

- › Интересно оказывается рассмотреть вопрос о существовании у этого решения «горизонта событий», такой поверхности, для достижения которой частице нужно иметь бесконечную энергию. Выразив энергию пробной частицы через её координаты, получим, что она достигает бесконечного значения на поверхности

$$\sigma^2 = \frac{m^2 + b^2 - a^2 \tau^2}{m^2 + b^2 - a^2}$$

- › В случае решения Шварцшильда и Тауба-НУТ эта поверхность вырождается в единственную точку, в случае решения Керра имеет более сложную форму.

- Рассмотрим лагранжиан электродинамики Максвелла с безмассовым аксионом:

$$L = -\frac{1}{4}(F_{\mu\nu}F^{\mu\nu} + \gamma\varphi\tilde{F}_{\mu\nu}F^{\mu\nu}) + \frac{1}{2}\partial_\mu\varphi\partial^\mu\varphi$$

- В данном случае также можно ввести скалярный потенциал магнитного поля согласно уравнению

$$\nabla u = -\nabla \times \vec{A} + \gamma\varphi\nabla A_0$$

- Система уравнений, описывающих динамику полей, в стационарном случае может быть записана следующим образом:

$$\begin{aligned}\nabla^2 v + 2\gamma^2\varphi\nabla\varphi\nabla v + \gamma^2\varphi^2\nabla^2 v - \gamma\nabla\varphi\nabla u - \gamma\varphi\nabla^2 u &= 0, \\ \nabla^2\varphi + \gamma^2\varphi(\nabla v)^2 - \gamma\nabla v\nabla u &= 0, \\ \nabla^2 u - \gamma\nabla\varphi\nabla v - \gamma\nabla v\nabla u &= 0.\end{aligned}$$

- Соответствующий трехмерный лагранжиан выглядит так:

$$L_3 = 2(\nabla\varphi)^2 - \frac{1}{2}[(\nabla u - \gamma\varphi\nabla v)^2 + (\nabla v)^2].$$

- Полученный лагранжиан сохраняет свою форму при следующих преобразованиях полей:

$$\begin{aligned}v &\rightarrow \varphi \operatorname{sh}(\lambda) + v \operatorname{ch}(\lambda), \\ \varphi &\rightarrow \varphi \operatorname{ch}(\lambda) + v \operatorname{sh}(\lambda),\end{aligned}$$

$$u \rightarrow u + \frac{\gamma}{4}[(\varphi^2 + v^2)\operatorname{sh}(2\lambda) + 4\varphi v \operatorname{sh}^2(\lambda)].$$

$$\begin{aligned}v &\rightarrow v, \\ \varphi &\rightarrow \varphi + \lambda, \\ u &\rightarrow u + \gamma v \lambda.\end{aligned}$$

$$\begin{aligned}v &\rightarrow v + \lambda, \\ \varphi &\rightarrow \varphi, \\ u &\rightarrow u.\end{aligned}$$

$$\begin{aligned}v &\rightarrow v, \\ \varphi &\rightarrow \varphi, \\ u &\rightarrow u + \lambda.\end{aligned}$$

- Предположим, что все поля исследуемой модели зависят от одной гармонической функции, то есть,

$$\begin{aligned} \varphi = \varphi(\lambda), \quad v = v(\lambda), \quad u = u(\lambda), \\ \Delta\lambda = 0. \end{aligned}$$

- В этом случае мы получаем эффективно одномерную теорию, уравнения и лагранжиан которой записываются так:

$$\begin{aligned} [u' - \gamma\varphi v']' &= 0, \\ [v' - \gamma\varphi(u' - \gamma\varphi v')] &' = 0, \\ \varphi'' - \gamma(u' - \gamma\varphi v')v' &= 0. \end{aligned}$$

$$L_3 = \frac{1}{2} [(\varphi')^2 - (u' - \gamma\varphi v')^2 - (v')^2].$$

- Здесь, как и в случае электродинамики с дилатоном, можно сразу выписать два интеграла движения

$$\begin{aligned} u' - \gamma\varphi v' &= C_1, \\ v' - \gamma\varphi C_1 &= C_2. \end{aligned}$$

- Первое выражение с учётом определения потенциала u позволяет сразу получить вид магнитного поля: $\vec{H} = \nabla \times \vec{A} = -C_1 \nabla \lambda$.
- Уравнение на потенциал φ имеет следующий вид:

$$\varphi'' - (\gamma C_1)^2 \varphi - \gamma C_1 C_2 = 0.$$

- Общее гармоническое решение уравнений электродинамики с аксионом:

$$\begin{aligned} \varphi &= A e^{\gamma C_1 \lambda} + B e^{-\gamma C_1 \lambda} - \frac{C_2}{\gamma C_1}, \\ v &= A e^{\gamma C_1 \lambda} - B e^{-\gamma C_1 \lambda} + D. \end{aligned}$$

- В центрально-симметричном случае $\lambda = \frac{q}{r}$, и при условии исчезновения полей на пространственной бесконечности решение принимает вид:

$$\begin{aligned} \varphi &= \frac{C_2}{\gamma C_1} \left[\operatorname{ch} \left(\frac{\gamma C_1 q}{r} \right) - 1 \right] - D \operatorname{sh} \left(\frac{\gamma C_1 q}{r} \right), \\ v &= \frac{C_2}{\gamma C_1} \operatorname{sh} \left(\frac{\gamma C_1 q}{r} \right) - D \left[\operatorname{ch} \left(\frac{\gamma C_1 q}{r} \right) - 1 \right]. \end{aligned}$$

- Эффективные заряды в этом случае равны

$$q_e = C_2 q, \quad q_m = C_1 q, \quad q_\varphi = -\gamma D C_1 q.$$

- Если магнитный заряд равен нулю, электрическое поле и аксион принимают кулоновский вид.

- В случае $q_\varphi = -q_e$ потенциалы имеют следующий вид:

$$\begin{aligned} \varphi &= \frac{q_e}{\gamma q_m} \left(e^{-\frac{\gamma q_m}{r}} - 1 \right), \\ v &= -\frac{q_e}{\gamma q_m} \left(e^{-\frac{\gamma q_m}{r}} - 1 \right). \end{aligned}$$

- Они имеют конечную величину во всём пространстве.

- › Рассмотрим рассеяние пробных частиц на найденном ранее потенциале

$$U = -\frac{4q}{\alpha} \left\{ \operatorname{arctg} \left[e^{\frac{\alpha Q}{r}} \operatorname{tg} \left(\frac{\lambda}{2} \right) \right] - \frac{\lambda}{2} \right\}.$$

- › Так как на сегодняшний день классическая электродинамика хорошо подтверждается в экспериментах, разумно будет полагать, что константа связи α имеет очень малую величину, и рассматривать поправки к сечению рассеяния на потенциале Кулона в первом порядке по α .
- › С такой точностью приближённое выражение для потенциала U принимает вид:

$$U = \frac{q q_e}{r} + \alpha \frac{q q_e q_\phi}{2r^2}.$$

- › Понятно, что при этих ограничениях имеет смысл рассматривать только рассеяние на малые углы.

- › После вычислений получаем следующее выражение для дифференциального сечения рассеяния:

$$\frac{d\sigma}{d\Omega} = \left(\frac{m q q_e}{2p^2} \right)^2 \frac{1}{\sin^4 \left(\frac{\theta}{2} \right)} + \frac{\alpha \pi m^2 q^2 q_e^2 q_\phi}{4\hbar p^3} \frac{1}{\sin^3 \left(\frac{\theta}{2} \right)}.$$

- › Первое слагаемое здесь представляет собой известную формулу Резерфорда, второе – поправку к ней.

- Ранее в работе было найдено решение уравнений электродинамики с аксионом, включающее кулоновское магнитное поле и электрическое поле $v(r)$, распределенное в пространстве более сложным образом. Будем предполагать, что взаимодействие осуществляется посредством обычной силы Лоренца:

$$m \frac{d^2 \vec{r}}{dt^2} = -\vec{\nabla} v(r) + \frac{q_m}{r^3} [\dot{\vec{r}} \times \vec{r}].$$

- Можно показать, что в этом случае пробная частица движется по конусу с углом раствора

$$\text{ctg } \theta = \frac{q_m}{mbv_0},$$

где b – прицельный параметр, v_0 – скорость налетающей частицы на пространственной бесконечности.

- При этом движение в радиальном и азимутальном направлениях определяется только электростатическим взаимодействием.

- Разложим потенциал $v(r)$ по степеням малого параметра γ до первого порядка:

$$v = \frac{q_e}{r} + \frac{\gamma q_m q_a \varepsilon}{2r^2} + \dots$$

- Зависимость азимутального угла от прицельного параметра выражается следующим образом:

- при больших значениях прицельного параметра

$$\varphi|_{r \rightarrow \infty} = \frac{1}{\cos \theta \sqrt{\frac{\gamma m q_a \varepsilon}{q_m} + \text{tg}^2 \theta}} \arctg \sqrt{\frac{2E q_m^2}{m q_e^2} \left(\frac{\gamma m q_a \varepsilon}{q_m} + \text{tg}^2 \theta \right)}.$$

- при малых значениях прицельного параметра

$$\varphi|_{r \rightarrow \infty} = \frac{1}{2 \cos \theta \sqrt{-\left(\frac{\gamma m q_a \varepsilon}{q_m} + \text{tg}^2 \theta\right)}} \ln \left| \frac{1 - \sqrt{\frac{2E q_m^2}{m q_e^2} \left(\frac{\gamma m q_a \varepsilon}{q_m} + \text{tg}^2 \theta\right)}}{1 + \sqrt{\frac{2E q_m^2}{m q_e^2} \left(\frac{\gamma m q_a \varepsilon}{q_m} + \text{tg}^2 \theta\right)}} \right|$$

- Угол раствора конуса, азимутальный угол и угол рассеяния частицы Θ связаны соотношением

$$\cos \left(\frac{\Theta}{2} \right) = \sin \theta \sin \left(\varphi|_{r \rightarrow \infty} \right)$$

- Дифференциальное сечение рассеяния вычисляется по формуле

$$\frac{d\sigma}{d\Omega} = \sum_{\theta_i} \left(\frac{q_m}{mv}\right)^2 \frac{1}{2 \cos^4 \theta} \left| \frac{\sin 2\theta}{\sin \Theta} \frac{d\theta}{d\Theta} \right|.$$

- Особенностью рассеяния на дионах является то, что разным значениям прицельного параметра могут соответствовать одинаковые углы рассеяния. В этой формуле суммирование ведется по всем подходящим значениям угла θ . Также особенностью является наличие таких углов, при которых сечение рассеяния формально стремится к бесконечности. Эти углы соответствуют уравнениям $\sin \Theta = 0$ и $\frac{d\Theta}{d\theta} = 0$. Первый вариант расходимости в оптике называется «глонией», второй – «радугой».

- В предельном случае $q_m = 0$ дифференциальное сечение принимает вид формулы Резерфорда.
- В случае $q_e = 0$ младшим порядком в разложении потенциала по степеням $\frac{1}{r}$ будет второй. Тогда выражение для угла рассеяния через прицельный параметр принимает следующий вид:

$$\cos\left(\frac{\Theta}{2}\right) = \frac{1}{\sqrt{1 + \left(\frac{eq_m}{mvb}\right)^2}} \sin\left[\frac{\pi}{2} \sqrt{\frac{1 + \left(\frac{eq_m}{mvb}\right)^2}{1 + \frac{\gamma m e q_m q \varphi}{(mvb)^2}}}\right]$$

- Выражение для сечения рассеяния в случае малых углов соответствует рассеянию на кулоновском дионе:

$$\frac{d\sigma}{d\Omega} = \frac{(eq_m)^2}{16mE} \frac{1}{\cos^3\left(\frac{\Theta}{2}\right)}$$

1. В работе впервые построены общие гармонические решения уравнений электродинамики Максвелла с дилатоном и электродинамики Максвелла с аксионом в стационарном случае, обобщающие ранее известные результаты других авторов.
2. Впервые найдена дуальность между электростатическим и магнитостатическим секторами электродинамики Максвелла с дилатоном и стационарной Общей Теорией Относительности в вакууме в случае аксиальной симметрии. Указанная дуальность использована для получения точных решений электродинамики с дилатоном из известных решений Шварцшильда и Керра ОТО.
3. Разработан метод получения точных решений, использующий известные симметрии лагранжиана ОТО в вакууме.

ЗНАЧИМОСТЬ

- › Полученные в работе точные решения не привязаны к конкретным значениям констант-параметров теории, поэтому могут быть использованы для проверки следствий из различных вариантов теорий Великого Объединения.
- › Найденная в работе дуальность между статической электродинамикой с дилатоном и стационарной аксиально-симметричной ОТО в вакууме имеет большой потенциал развития для поиска новых статических решений.

ПУБЛИКАЦИИ

№ п/п	ССЫЛКА	ТРЕБОВАНИЯ ВАК
1	Kechkin O. V., Mosharev P. A. Structures of general relativity in dilaton-maxwell electrodynamics // International Journal of Modern Physics A. — 2016. — Vol. 31, no. 23.	Scopus
2	Kechkin O. V., Mosharev P. A. Singularity-free interaction in dilaton-maxwell electrodynamics // Modern Physics Letters A. — 2016. — Vol. 31, no. 31.	Scopus
3	Кечкин О. В., Мошарев П. А. Общее гармоническое решение уравнений электродинамики Максвелла с дилатоном // Учёные записки физического факультета МГУ. — 2019. — № 6.	Входит в список ВАК
4	Кечкин О. В., Денисова И. П., Мошарев П. А. Генерация статических решений в нелинейной электродинамике с дилатоном из стационарных решений Общей Теории Относительности в вакууме // Ученые Записки Физического Факультета МГУ. — 2019. — № 3.	Входит в список ВАК
5	Кечкин О. В., Мошарев П. А. Симметрии и общее гармоническое решение уравнений электродинамики Максвелла с аксионом // Вестник МГУ. Серия 3. Физика. Астрономия. (Статья принята к печати)	Входит в список ВАК
6	Кечкин О. В., Мошарев П. А. Асимптотическая свобода, сечение рассеяния и уровни энергии для центрально-симметричного взаимодействия в электродинамике с дилатоном // Труды XVI Межвузовской научной школы молодых специалистов Концентрированные потоки энергии в космической технике, электронике, экологии и медицине (Москва, Россия, 24-25 ноября 2015). ISBN 978-5-91304-566-8. — Университетская книга Москва, 2015.	-

ОСНОВНЫЕ РЕЗУЛЬТАТЫ РАБОТЫ

1. Найдено эффективное трехмерное описание для электродинамики Максвелла с дилатоном в стационарном случае.
2. Найдено общее гармоническое решение уравнений электродинамики Максвелла с дилатоном. Рассмотрены частные случаи, интегрируемые в элементарных функциях. Выписаны соответствующие центрально-симметричные решения и найдены эффективные заряды.
3. Установлена дуальность статической ДМЭ и стационарной ОТО. На основании этой дуальности разработаны два метода построения точных решений ДМЭ.
4. Найдено общее центрально-симметричное решение ДМЭ-электростатики и доказана его единственность.
5. Предложено выражение для обобщённой силы Лоренца на основании принципа симметрии и найден эффективный потенциал взаимодействия пробных заряженных частиц с центрально-симметричными полями электростатики ДМЭ. Вычислена эффективная плотность заряда и плотность энергии полей.
6. Найдено точное решение ДМЭ, дуальное решению Керра-НУТ. Вычислены эффективные заряды, дипольный момент, и установлен вид «горизонта событий» при различных значениях параметров решения.
7. Найдено трехмерное описание электродинамики Максвелла с аксионом в стационарном случае. Найдена группа скрытых симметрий трехмерного лагранжиана. Найдено общее гармоническое решение уравнений электродинамики Максвелла с аксионом, записано центрально-симметричное решение и вычислены эффективные заряды.
8. Вычислены поправки к формуле Резерфорда для дифференциального сечения рассеяния пробных частиц на найденных потенциалах в электродинамике с дилатоном и аксионом.

СПАСИБО ЗА ВНИМАНИЕ!

МОШАРЕВ Павел Александрович

Тел.: +7(926)925-44-23

E-Mail: moscharev.pavel@physics.msu.ru

1. В случае $4C_3^2 - C_1^2 C_2^2 > 0$, $C_3 < 0$ имеем решение

$$e^{\alpha\phi} = A \cdot \operatorname{sn} \left(\pm \frac{\alpha|C_2|}{2A} \lambda + \Lambda_0, k \right),$$

$$v = BC_1 \lambda + \frac{|C_2|}{A} \sqrt{B} \int_{\Lambda_0}^{\pm \frac{\alpha|C_2|}{2A} \lambda + \Lambda_0} dn^2 \left(\pm \frac{\alpha|C_2|}{2A} \lambda + \Lambda_0, k \right) d\lambda.$$

Константы A, B и k задаются формулами:

$$A = \sqrt{\frac{2C_3 + \sqrt{4C_3^2 - C_1^2 C_2^2}}{-C_1^2}}, \quad B = \frac{-2C_3 + \sqrt{4C_3^2 - C_1^2 C_2^2}}{C_1^2}, \quad k^2 = \frac{2C_3 + \sqrt{4C_3^2 - C_1^2 C_2^2}}{2C_3 - \sqrt{4C_3^2 - C_1^2 C_2^2}}$$

2. В случае $4C_3^2 - C_1^2 C_2^2 > 0$, $C_3 > 0$ имеем решение

$$e^{\alpha\phi} = A \cdot \operatorname{sc} \left(\pm \frac{\alpha|C_2|}{2A} \lambda + \Lambda_0, k \right),$$

Константы A и k в этом случае задаются формулами

$$A = \sqrt{\frac{2C_3 - \sqrt{4C_3^2 - C_1^2 C_2^2}}{C_1^2}}, \quad k^2 = \frac{2\sqrt{4C_3^2 - C_1^2 C_2^2}}{2C_3 + \sqrt{4C_3^2 - C_1^2 C_2^2}}.$$

$$v = \pm \frac{2\sqrt{2C_3 + \sqrt{4C_3^2 - C_1^2 C_2^2}}}{\alpha C_1} \left[dn \left(\pm \frac{\alpha|C_2|}{2A} \lambda + \Lambda_0, k \right) \operatorname{sc} \left(\pm \frac{\alpha|C_2|}{2A} \lambda + \Lambda_0, k \right) - \sqrt{\frac{C_1^2}{C_2^2} \cdot \frac{C_2 + 2C_3 - \sqrt{4C_3^2 - C_1^2 C_2^2}}{C_1^2 + 2C_3 - \sqrt{4C_3^2 - C_1^2 C_2^2}}} - \int_{\Lambda_0}^{\pm \frac{\alpha|C_2|}{2A} \lambda + \Lambda_0} dn^2 \left(\pm \frac{\alpha|C_2|}{2A} \lambda + \Lambda_0, k \right) d\lambda \right].$$

3. В случае $4C_3^2 - C_1^2 C_2^2 < 0$ имеем решение

$$e^{\alpha\phi} = \sqrt{\left|\frac{C_2}{C_1}\right|} \cdot \frac{1 - \sqrt{\frac{g}{h}} \operatorname{sc}\left(\mp \frac{\alpha h}{4} \lambda + \Lambda_0, k\right)}{1 + \sqrt{\frac{g}{h}} \operatorname{sc}\left(\mp \frac{\alpha h}{4} \lambda + \Lambda_0, k\right)},$$

$$v = C_1 \sqrt{\left|\frac{C_2}{C_1}\right|} \left\{ \lambda \pm \sqrt{\frac{g}{h}} \frac{32}{\alpha h} \int \frac{\operatorname{sn}\left[\frac{1}{2}\left(\mp \frac{\alpha h}{4} \lambda + \Lambda_0, k\right)\right]}{\operatorname{sn}\left(\frac{\Lambda_0}{2}, k\right)} \frac{(1-2\xi^2+k^2\xi^4)\xi d\xi}{(1-2\xi^2+k^2\xi^4)^2 + 2\sqrt{\frac{g}{h}} \xi \sqrt{1-\xi^2} \sqrt{1-k^2\xi^2} + \frac{g}{h} \xi^2 (1-\xi^2)(1-k^2\xi^2)} \right\}$$

Константы g, h и k задаются формулами

$$g = 2\sqrt{|C_1 C_2|} - \sqrt{2|C_1 C_2| - 4C_3}, \quad h = 2\sqrt{|C_1 C_2|} + \sqrt{2|C_1 C_2| - 4C_3}, \quad k^2 = 1 - \left(\frac{g}{h}\right)^2$$

В случае $C_1 = 0$ в общем гармоническом решении отсутствует электрическое поле, в случае $C_2 = 0$ отсутствует магнитное поле. В каждом из этих случаев мы можем записать три класса решений.

1. При $\frac{4C_3}{C_{1,2}^2} = k^2$ поля имеют вид

$$e^{\mp\alpha\phi} = \frac{(k + \sqrt{k^2 + 1})^2 e^{\mp\alpha k C_{1,2}\lambda} - 1}{2k (k + \sqrt{k^2 + 1}) e^{\mp\frac{\alpha k C_{1,2}\lambda}{2}}},$$

$$\{v/u\} = \mp \frac{4k}{\alpha} \left[\frac{1}{(k + \sqrt{k^2 + 1})^2 - 1} - \frac{1}{(k + \sqrt{k^2 + 1})^2 e^{\mp\alpha k C_{1,2}\lambda} - 1} \right].$$

(верхний знак соответствует электростатике, нижний – магнитостатике).

2. При $\frac{4C_3}{C_{1,2}^2} = -k^2$ поля принимают вид

$$e^{\mp\alpha\phi} = \frac{1}{k} \sin \left(\mp \frac{\alpha k C_{1,2}}{2} \lambda + \arcsin k \right),$$

$$\{v/u\} = \pm \frac{2k}{\alpha} \operatorname{ctg} \left(\mp \frac{\alpha k C_{1,2}}{2} \lambda + \arcsin k \right) \mp \frac{2}{\alpha} \sqrt{1 - k^2}.$$

(верхний знак соответствует электростатике, нижний – магнитостатике).

3. Наконец, в пограничном случае $C_3 = 0$ имеем решение

$$e^{\mp\alpha\phi} = 1 \pm \frac{\alpha C_{1,2}}{2} \lambda,$$

$$v = \frac{C_{1,2} \lambda}{1 \mp \frac{\alpha C_{1,2}}{2} \lambda}.$$